



JOURNAL OF  
THE EUROPEAN  
ACADEMY OF  
DERMATOLOGY &  
VENERELOGY

日本語版 Vol.1 No.1 2023

### 監修

**梶島 健治** Kenji Kabashima

京都大学大学院医学研究科皮膚科学講座 教授

### 編集委員

**浅野 善英** Yoshihide Asano

東北大学大学院医学系研究科神経・感覺器病態学講座皮膚科学分野 教授

**本田 哲也** Tetsuya Honda

浜松医科大学皮膚科学講座 教授

**山口 由衣** Yukie Yamaguchi

横浜市立大学大学院医学研究科環境免疫病態皮膚科学 教授



久光製薬株式会社は費用面での援助を行っておりますが、本企画は特定の薬剤の処方誘引あるいは企業の営利を企図するものではありません。

一部、国内での承認外の情報が含まれる場合がございますが、本企画はこれを推奨するものではありません。薬剤の使用については製品添付文書をご参照ください。本資料は医療関係者からの求めに応じて提供するものです。

WILEY

WWW.EADV.ORG

EA  
DV  
EUROPEAN  
ACADEMY OF  
DERMATOLOGY &  
VENERELOGY

**JEADV EDITORIAL BOARD****Editor-in-Chief**

Johannes RING (DE)

**Associate Editors**

Lidia RUDNICKA (PL)

Franco RONGIOLETTI (IT)

**Section Editors**

Regina C. BETZ (DE)

Klaus EISENDLE (IT)

Stefanie EYERICH (DE)

Margarida GONÇALO (PT)

Christophe HSU (CH)

Lajos KEMÉNY (HU)

Thierry PASSERON (FR)

Christian POSCH (DE)

Adam REICH (PL)

George-Sorin TIPLICA (RO)

**Editorial Office**

Asao SARUKAWA (Lugano) CH

Sevil UMITVAR (Lugano) CH

Lilla NAFRADI (Lugano) CH

Marco ZIGGIOTTI (CH)

Laurence ZULIANELLO (Genève) CH

Galadriel BONNEL (FR)

**Founding Editors**

Torello LOTTI (IT)

Derek FREEDMAN (IE)

**Past Editor-in-Chief**

Jean-Paul ORTONNE (FR)

**Honorary Editors**Otto BRAUN-FALCO (DE)<sup>†</sup>

Jean CIVATTE (FR)

John HARRIS (GB)

Stefania JABLONSKA (PL)

Emiliano PANCONESI (IT)<sup>†</sup>**JEADV Editorial Board**

Masayuki AMAGAI (Tokyo) JP

Valeria AOKI (Sao Paolo) BR

Matthias AUGUSTIN (Hamburg) DE

Robert BARAN (Nice) FR

Helmut BELTRAMINELLI (Bern) CH

Luca BORRADORI (Bern) CH

Robert BISSONNETTE (Montreal) CA

Wilma BERGFELD (Cleveland) US

Lasse R. BRAATHEN (Bern) CH

Maria C. CASTELLS (Boston) US

Menno A DE RIE (Amsterdam) NL

Henry J DEVRIES (Amsterdam) NL

Brigitte DRENO (Nantes) FR

Dirk ELSTON (Charleston) US

Steven R. FELDMAN (Winston-Salem) US

Lars E. FRENCH (Munich) DE

Ricardo GALIMBERTI (Buenos Aires) AR

Richard L. GALLO (San Diego) US

Robert GNIADECKI (Copenhagen) DK

Aditya Kumar GUPTA (London) CA

Jan GUTERMUTH (Brussels) BE

Rudolf HAPPLE (Freiburg) DE

Roderick James HAY (Belfast) UK

Alain HOVNANIAN (Paris) FR

**JEADV Editorial Board (cont.)**

Dimitrios IOANNIDES (Thessaloniki) GR

Swen Malte JOHN (Osnabrueck) DE

Kenji KABASHIMA (Kyoto) JP

Shaniko KALECI (Modena) IT

Andreas D. KATSAMBAS (Athens) GR

Sarolta KARPATI (Budapest) HU

Nicolas KLUGER (Helsinki) FI

Henry W. LIM (Detroit) US

Dan LIPSKER (Strasbourg) FR

Harvey LIU (Vancouver) CA

Dedee MURRELL (Sydney) AU

Alexander NAST (Berlin) DE

Luigi NALDI (Bergamo) IT

Alexander NAVARINI (Zurich) CH

Keyvan NOURI (Miami) US

Julia OCAMPO (Monterey, Mexico) MX

Colm O'Mahony (Chester) UK

Lawrence Charles PARISH (Philadelphia) US

Giovanni PELLACANI (Modena) IT

Sirkku PELTONEN (Turku) FI

Françoise POOT (Brussels) BE

Frank C. POWELL (Dublin) IE

Peter SCHMID-GRENDELMEIER (Zurich) CH

Mihael SKERLEV (Zagreb) HR

Eli SPRECHER (Tel Aviv) IL

Christian VESTERGAARD (Aarhus) DK

Daniel WALLACH (Paris) FR

Stephan WEIDINGER (Kiel) DE

Andreas WOLLENBERG (Munich) DE

Giovanna ZAMBRUNO (Roma) IT

Xuejun ZHANG (Hefei) CN

**WILEY**

Published by Wiley Publishing Japan K.K.

The content of this publication contains abstracts and/or translated articles from *Journal of the European Academy of Dermatology and Venereology* – the official journal of the European Academy of Dermatology and Venereology, published by John Wiley & Sons Ltd, The Atrium, Southern Gate, Chichester PO19 8SQ, UK.

Copyright ©2023 by European Academy of Dermatology and Venereology. This material is published by Wiley Publishing Japan K.K. with the permission of John Wiley &amp; Sons Ltd. and European Academy of Dermatology and Venereology. All rights reserved. No part of this publication may be reproduced, stored in a retrieval system, or transmitted in any form or by any other means, electronic, mechanical, photocopying, recording or otherwise, without prior permission in writing of John Wiley &amp; Sons Ltd. and European Academy of Dermatology and Venereology. This material is supported by an educational grant from Hisamitsu Pharmaceutical Co., Inc. for the purpose of furthering medical education in Japan.

Japanese edition 2023

ISSN 2758-7304

Wiley Publishing Japan K.K.

Nomura Fudosan Nishi Shinjuku Bldg. 8F, 8-4-2 Nishi Shinjuku, Shinjuku-ku, Tokyo 160-0023, Japan

Telephone: 81-3-4520-9011 Fax: 81-3-4520-9059

Internet site: <http://www.wiley.com/wiley-blackwell>

e-mail: ProductionJapan@wiley.com

Project Team Manager: Shintaro Ashika

Project Manager: Reiko Matsuura

Printed and bound in Japan by Kodama Printing Co., Ltd.

**監修****浜島 健治** 京都大学大学院医学研究科皮膚科学講座 教授**担当編集委員****本田 哲也** 浜松医科大学皮膚科学講座 教授**担当編集協力者****伊藤 泰介** 浜松医科大学皮膚科学講座 病院教授**坂本 慶子** 浜松医科大学皮膚科学講座 助教**島内 隆寿** 浜松医科大学皮膚科学講座 講師 / 病院准教授**野村 尚史** 京都大学大学院医学研究科皮膚科学 医局長 / 難病創薬産学共同講座 特定准教授**藤山 俊晴** 浜松医科大学医学部附属病院皮膚科 講師**CONTENTS**

◆ 皮膚有棘細胞癌における三次リンパ様構造の特徴とその臨床的意義	2
◆ 乾癬におけるそう痒の特徴と影響に関する包括的 3 カ国横断解析	4
◆ 萎縮性丘疹症（Köhlmeier-Degos 病）の再検討：患者 105 例の横断研究	6
◆ 良性萎縮性丘疹症（Köhlmeier-Degos 病）における炎症と血栓閉塞のシグナル	8
◆ Onychopapilloma の臨床的特徴およびダーモスコピー検査、病理検査所見の特徴	10
◆ 高リスク成人における色素細胞母斑の長期的变化	12
◆ 1 年間に皮膚科を紹介受診した原発性皮膚リンパ腫患者における診断、病期、併存疾患、関連症状、実施治療ならびに臨床経過に関する単一施設、後ろ向きコホート研究	14
◆ 初のヒトニキビダニ <i>ex vivo</i> 培養およびダニ増殖に対する各種薬剤の評価	16
◆ 乾癬患者における自殺傾向のリスク增加：韓国の全国コホート研究	18
◆ 肿瘍隨伴性天疱瘡：非定型症例の存在を顕在化したオランダの詳細な症例シリーズ	20
◆ 英文誌対象号目次	22

**Journal of the European Academy of Dermatology and Venereology 日本語版について**

Journal of the European Academy of Dermatology and Venereology 日本語版は、欧州皮膚科性病科学会 (EADV) の公式英文誌 *Journal of the European Academy of Dermatology and Venereology* より、日本語版編集委員が本邦の医療従事者にとって特に有用な論文を中立的に選定し、日本語翻訳版として紹介する刊行物です。

各ページには、原文に簡単にアクセスできる二次元コードを配置しています。また、巻末には、英文誌対象号に掲載された全論文の目次を掲載していますので、本誌未収載の論文タイトルもぜひご覧ください。

ジャーナルページ URL : <https://onlinelibrary.wiley.com/journal/14683083>

# 皮膚有棘細胞癌における三次リンパ様構造の特徴とその臨床的意義

Features and clinical significance of tertiary lymphoid structure in cutaneous squamous cell carcinoma

Y.H. Wu,<sup>1</sup> F. Wu,<sup>2</sup> G.R. Yan,<sup>1</sup> Q.Y. Zeng,<sup>1</sup> N. Jia,<sup>1</sup> Z. Zheng,<sup>1</sup> S. Fang,<sup>1</sup> Y.Q. Liu,<sup>2</sup> G.L. Zhang,<sup>1</sup> X.L. Wang<sup>1</sup>

<sup>1</sup>Institute of Photomedicine, Shanghai Skin Disease Hospital, School of Medicine, Tongji University, Shanghai, China

<sup>2</sup>Department of Pathology, Shanghai Skin Disease Hospital, School of Medicine, Tongji University, Shanghai, China



J Eur Acad Dermatol Venereol. 2022;36:2043–2050

## ▶ 背景

抗腫瘍免疫で重要な役割を果たす三次リンパ様構造(TLS)は、患者の予後を大きく左右する。しかし、皮膚有棘細胞癌(cSCC)を背景とする臨床的意義は未だ不明である。

## ▶ 目的

cSCCにおけるTLSの特徴および臨床病理学的特徴との関連性を探る。

## ▶ 方法

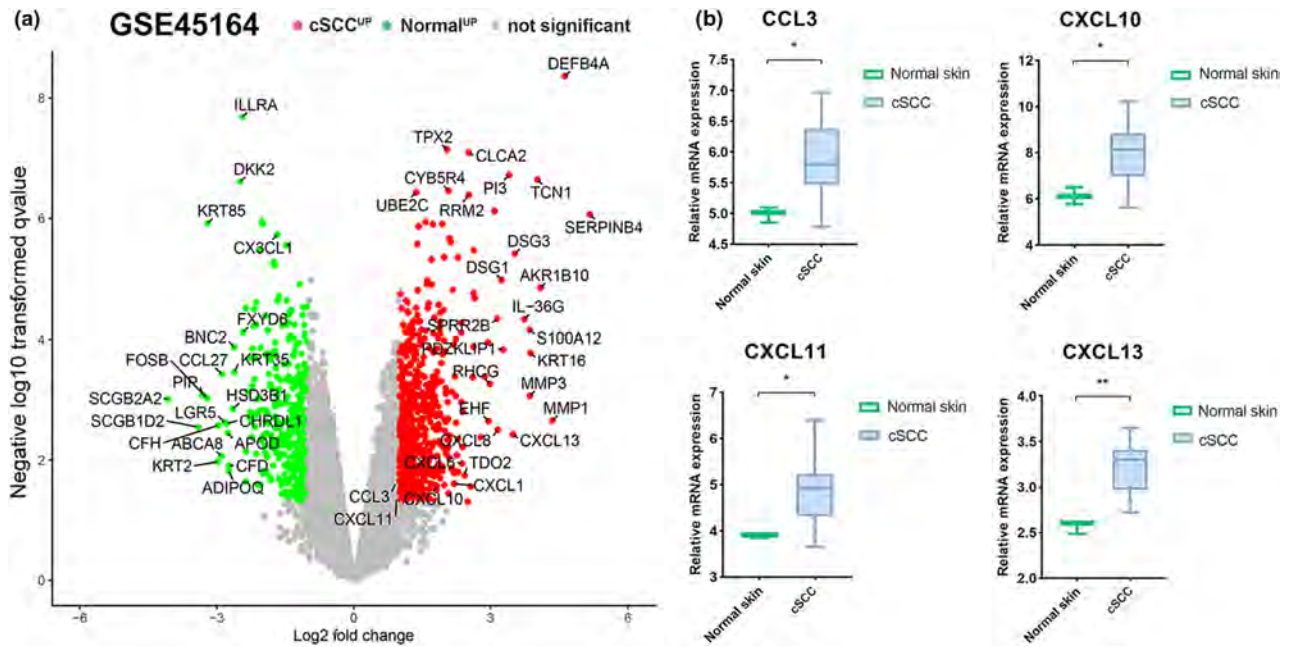
2つの独立したcSCC RNA-seqデータを用いて、腫瘍免疫微小環境およびTLSに関連するケモカイン、サイトカインについて検討した。計82例のcSCC患者でTLS密度および位置を評価し、臨床病理学的関連性を検討した。

## ▶ 結果

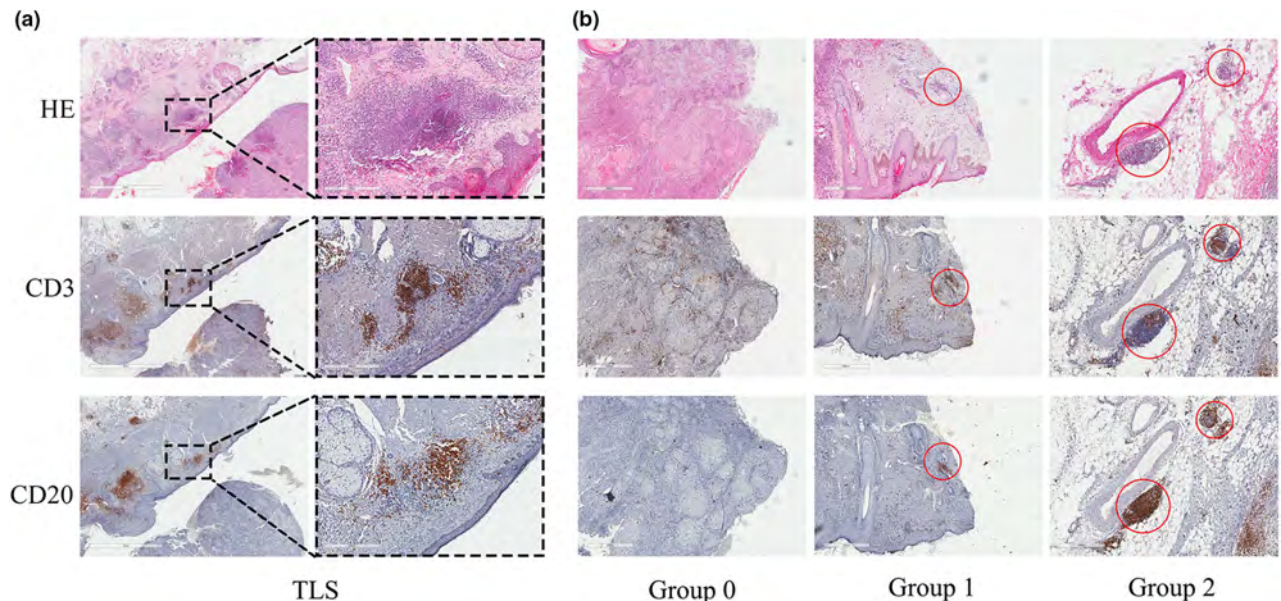
バイオインフォマティクス解析の結果、cSCCでは大量の免疫細胞浸潤およびTLS関連ケモカインの有意な発現増加が観察された。組織学的には、密度および成熟度の異なる高度に組織化されたTLS構造が72例(87.8%)で認められ、このうち14例が低密度群、58例が高密度群であった。臨床的にはTLSの存在と、病理組織学的に高分化であることおよび日光曝露量の多さに顕著な関連が認められた。さらに、腫瘍内TLSの存在はリンパ管浸潤の減少と関連していた。

## ▶ 結論

cSCCのTLSは高度に組織化されており、TLSの存在はcSCCの予後が良好であることを示す因子である。この結果は、今後のcSCCの診断および治療における理論的根拠となるであろう。



**図 2** GSE45164<sup>\*</sup>の正常皮膚と比較して、cSCC では TLS 関連ケモカインおよびリンフォカインの発現が著しい。(a) cSCC および正常皮膚で有意に発現が増加・減少した遺伝子。(b) cSCC 群および正常皮膚群における TLS 関連ケモカイン発現量の差。  
日本語版注釈：※：Gene Expression Omnibus データベースより取得したデータセット（外科的切除 cSCC 皮膚 10 セットおよび正常皮膚 3 セット）



**図 3** cSCC で観察された TLS の特徴。(a) cSCC の TLS は、おおむね T 細胞領域に囲まれた B 細胞濾胞の外觀を呈し、腫瘍縁の間質に位置した。(b) すべての標本を TLS 陰性 (Group 0), 低密度 TLS (Group 1), 高密度 TLS (Group 2) の 3 群に分けた。

# 乾癬におけるそう痒の特徴と影響に関する包括的 3 カ国横断解析

## A comprehensive, tri-national, cross-sectional analysis of characteristics and impact of pruritus in psoriasis

M. Hawro,<sup>1</sup> E. Sahin,<sup>2,3</sup> M. Steć,<sup>4</sup> M. Różewicka-Czabańska,<sup>5</sup> E. Raducha,<sup>5</sup> L. Garanyan,<sup>6</sup> S. Philipp,<sup>7</sup> G. Kokolakis,<sup>7</sup> D. Christou,<sup>7</sup> P. Kolikhir,<sup>2,3,8</sup> D. Pogorelov,<sup>8,9</sup> K. Weller,<sup>2,3</sup> M. Metz,<sup>2,3</sup> R. Sabat,<sup>7,10</sup> R. Maleszka,<sup>5</sup> O. Olisova,<sup>6</sup> M. Maurer,<sup>2,3</sup> T. Hawro<sup>1</sup>

<sup>1</sup> Department of Dermatology, Allergology and Venereology, Institute and Comprehensive Center for Inflammation Medicine, University Medical Center Schleswig-Holstein, Lübeck, Germany

<sup>2</sup> Institute of Allergology, Charité – Universitätsmedizin Berlin, Corporate Member of Freie Universität Berlin, Humboldt-Universität zu Berlin, Berlin, Germany

<sup>3</sup> Allergology and Immunology, Fraunhofer Institute for Translational Medicine and Pharmacology ITMP, Berlin, Germany

<sup>4</sup> Department of Computer Science, Chair of Embedded Systems Architectures for Signal Processing, University of Potsdam, Potsdam, Germany

<sup>5</sup> Department of Skin and Venereal Diseases, Pomeranian Medical University, Szczecin, Poland

<sup>6</sup> V.A. Rakhamanov Department of Skin and Venereal Diseases, I.M. Sechenov First Moscow State Medical University, Ministry of Health of Russia, Moscow, Russian Federation

<sup>7</sup> Department of Dermatology and Allergy, Institute of Medical Immunology, Psoriasis Research and Treatment Center, Charité–Universitätsmedizin Berlin, corporate member of Freie Universität Berlin, Humboldt-Universität zu Berlin, and Berlin Institute of Health, Berlin, Germany

<sup>8</sup> Division of Immune-Mediated Skin Diseases, I.M. Sechenov First Moscow State Medical University (Sechenov University), Moscow, Russian Federation

<sup>9</sup> Department of Infection and Immunity, Luxembourg Institute of Health, Esch-sur-Alzette, Luxembourg

<sup>10</sup> Interdisciplinary Group of Molecular Immunopathology, Dermatology/Medical Immunology, Charité - Universitätsmedizin Berlin, Berlin, Germany



*J Eur Acad Dermatol Venereol.* 2022;36:2064–2075

### ▶ 背景

乾癬には通常そう痒症状を伴うが、そう痒の特徴、治療反応性および疾患負担は未だ十分に把握されていない。

### ▶ 目的

国内外の乾癬患者コホートでそう痒の特徴および疾患負担を調査する。

### ▶ 方法

本横断研究の対象はドイツ、ポーランド、ロシアの患者 634 例および対照 246 例であった。医師が被験者の診察および問診を行い、重症度、治療法、乾癬病変の部位などの臨床的特徴を記録した。被験者はそう痒の強さや影響、特徴、治療の効果、生活の質 (QoL) に関する質問が記載されたアンケートに回答した。そう痒および皮膚病変の局在パターンはヒートマップで示した。

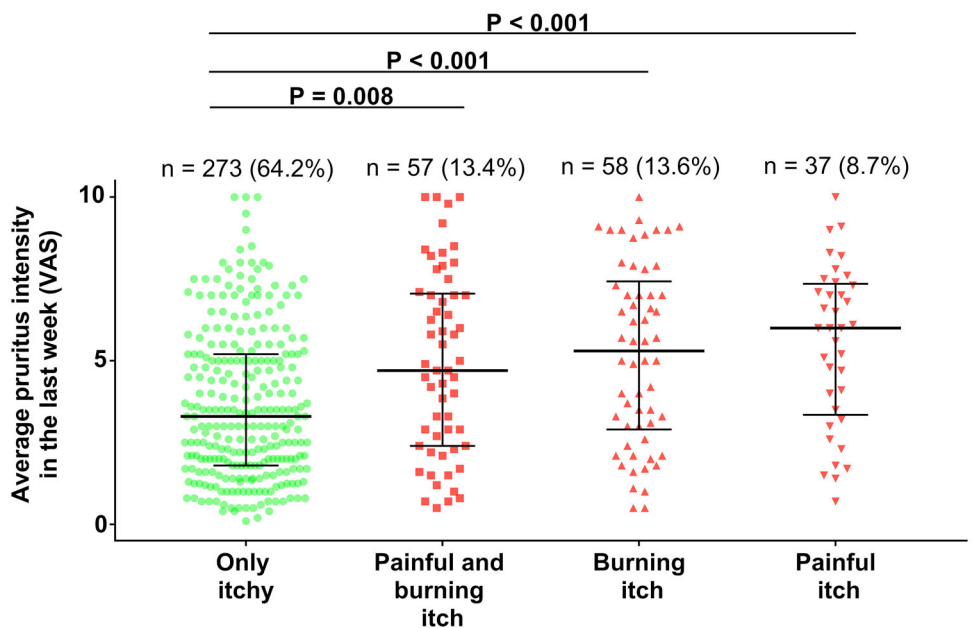
### ▶ 結果

大部分の患者 (82%) に乾癬によるそう痒症状が認められ、75% では現在もそう痒が続いている。過半数

の患者 (64%) は単純なそう痒のみを自覚していたが、さらに疼痛や灼熱感があると訴えた患者 (36%) からは全体的により強いそう痒が報告された。皮膚病変がない場合でも、頭皮は最もそう痒を訴える頻度が高い部位であった。そう痒の体表面積 (BSA) はそう痒の強度と関連せず、乾癬病変の BSA と関連していた ( $\rho = 0.278$ ,  $p < 0.001$ )。患者の 3 分の 1 (31%) が性生活の支障を訴え、4% がそう痒による自殺念慮を抱えていた。乾癬治療はそう痒にほとんど、または、まったく効果がないという患者は最大 3 分の 1 に上った。これらの患者の一部に投与された唯一の治療選択肢は抗ヒスタミン薬で、それはほとんどの症例に有効とみられる。

### ▶ 結論

そう痒は乾癬患者に高頻度でみられる症状であり、その疾患負担は相当なものである。現在の乾癬治療では、そう痒の抑制が不十分な場合が多い。乾癬治療には、痒みの評価およびコントロールも含まれる。有効なそう痒の治療法を開発し、乾癬患者に提供できるようにすることが望ましい。



**図 1** 灼熱感および／または疼痛を伴うそう痒は、より強いそう痒と関連していた。現在そう痒を自覚している患者は「痒い」、「灼熱感がある」または「痛い」の中から回答した（複数回答可）。N = 425。Kruskal-Wallis  $p < 0.001$ 。 $p$  値の確認は Dunn-Bonferroni 事後検定による。他の対比較は有意性が認められなかった（Dunn-Bonferroni, いずれも  $p = 1.000$ ）。横線は中央値、ヒゲは四分位範囲を表す。VAS : visual analogue scale

**表 2** 乾癬患者におけるそう痒の強度、そう痒の体表面積、臨床的特徴および疾患負担の相関性

Variable	Psoriasis patients with current pruritus		
	Pruritus intensity (VAS)		Digital BSA of pruritus
	Average	Maximum	
Digital BSA of pruritus	0.190 (0.001)	0.196 (0.001)	-
DLQI	<b>0.391 (&lt;0.001)</b>	<b>0.380 (&lt;0.001)</b>	<b>0.238 (&lt;0.001)</b>
SF-12	PCS MCS	-0.027 (0.297) -0.122 (0.008)	-0.019 (0.378) -0.043 (0.235)
HADS score	Depression Anxiety	0.005 (0.458) 0.141 (0.002)	-0.002 (0.485) 0.138 (0.002)
Psoriasis severity	PASI BSA	0.041 (0.199) 0.173 (<0.001)	0.161 (0.003) <b>0.278 (&lt;0.001)</b>
Age		0.104 (0.016)	0.077 (0.092)
BMI		0.126 (0.005)	0.101 (0.040)
Disease duration		0.025 (0.305)	0.089 (0.062)
Time since last remission		0.026 (0.319)	0.014 (0.414)

直近 1 週間の平均的そう痒強度について、Likert scale で少なくとも軽度と報告された場合にそう痒ありと判断した。直近 1 週間の平均および最大そう痒強度 (VAS) を評価した。そう痒のあるデジタル BSA は、身体マップを用いて全身表面積 (239,534 ピクセル = 100%) から算出した。太字は Spearman's rho  $> 0.2$  および統計的有意性の  $p < 0.05$  を示す。

PASI : Psoriasis Area and Severity Index, BSA : 体表面積, VAS : visual analogue scale, HADS : Hospital Anxiety and Depression Scale, DLQI : Dermatology Life Quality Index, PCS : Physical Component Summary, MCS : Mental Component Summary, SF : Short-form health survey, BMI : 体格指数

# 萎縮性丘疹症（Köhlmeier-Degos 病）の再検討： 患者 105 例の横断研究

Atrophic papulosis (Köhlmeier–Degos disease) revisited: a cross-sectional study on 105 patients

K.P. Kaleta,<sup>1,2</sup> V. Jariené,<sup>1,3</sup> A. Theodoridis,<sup>1</sup> G. Nikolakis,<sup>1</sup> C.C. Zouboulis<sup>1</sup>

<sup>1</sup> Departments of Dermatology, Venereology, Allergology and Immunology, Dessau Medical Center, Brandenburg Medical School Theodor Fontane and Faculty of Health Sciences Brandenburg, Dessau, Germany

<sup>2</sup> Department of Dermatology, Jagiellonian University Medical College, Krakow, Poland

<sup>3</sup> Department of Skin and Venereal Diseases, Lithuanian University of Health Sciences (LUHS), Hospital of LUHS Kauno Klinikos, Kaunas, Lithuania



J Eur Acad Dermatol Venereol. 2022;36:2190–2194

## ▶ 背景

萎縮性丘疹症は、原因不明の非常に稀な血管疾患であり、症例報告が大半を占める。

## ▶ 目的

萎縮性丘疹症患者の人口統計学的データおよび予後を評価する。

## ▶ 方法

2000～2021年に萎縮性丘疹症と診断された患者105例を対象に、単一施設研究を実施した。患者は紹介により評価センターで診断を受けた。Degos Support Networkから提供された患者の臨床データを用いて皮膚病変の診断を確認し、悪性群の診断基準適合性について評価した。すべての患者から疾患特有の変数を収集した。

## ▶ 結果

平均発症年齢は  $33.3 \pm 18.3$  歳、男女比は 1:1.6 であった。家族歴を有する割合は 8.1% であった。皮膚

症状のみ（良性萎縮性丘疹症）と、皮膚および内臓病変を伴う悪性萎縮性丘疹症の分類は、その著しい予後の差により確認された。良性萎縮性丘疹症の患者は 41% で、追跡期間中に死亡した患者はいなかった（中央値 3.00 年、範囲 0.13 ~ 23 年）。悪性萎縮性丘疹症の患者は 59% で、そのうち全身に複数の病変を有する患者は 47.5% であった。皮膚病変の発症から全身症状が出るまでの期間中央値は 0.54 年（-6 ~ 20 年）であった。消化管および中枢神経系の有症状率は同程度であったが、神経系病変による死亡率はやや高かった。悪性萎縮性丘疹症の疾患特異的死亡率は 22.6% であった。

## ▶ 結論

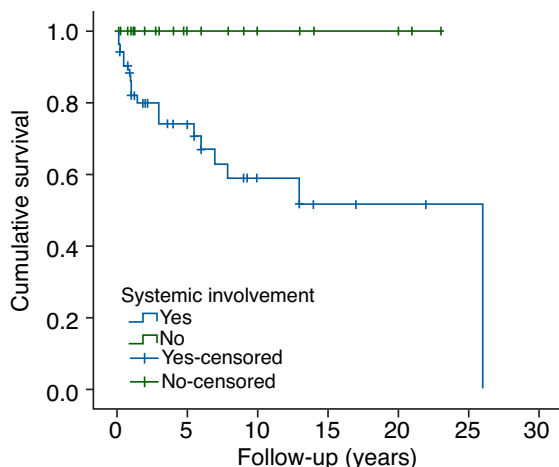
萎縮性丘疹症は良性型（皮膚症状のみ）か、急速に発症する（1 年未満）悪性群かによって予後が大きく異なる。悪性の場合、2 分の 1 の患者に皮膚・内臓病変のほか多臓器の異常所見が現れ、4 分の 1 の患者が本疾患に特異的な早期死亡に至る。中枢神経系および消化管の合併症が疾患特異的死亡の主原因である。重度の神経系病変の診断件数は、年々増えてきているようである。

**表1** Degos Disease Registry の人口統計学的および臨床データ

	All patients	MAP	BAP	Significance
Number (n)	105	62	43	NS
Male (n)	40	26	14	NS
Female (n)	65	36	29	NS
Age of onset	33.3 ± 18.3*	32.7 ± 20.0*	34.2 ± 15.7*	NS
Male	28.6 ± 16.8*	26.1 ± 19.3*	30.6 ± 11.6*	NS
Female	36.6 ± 18.3*	37.3 ± 19.4*	35.8 ± 17.1*	NS
Familial occurrence (n =)	5	2	3	NS
Median time for the development of systemic disease, years (min, max)		0.54 (-6, 20)		
Mortality (%)	20/105 (19)	20/62 (32.3)	0/43 (0)	<0.001
Median survival time from the development of systemic disease, years (min, max)		0.83 (0, 7.5)		
Median follow-up time from the disease onset, years (min, max)	3.29 (0.13, 26)	3.58 (0.16, 26)	3 (0.13, 23)	NS

BAP：良性萎縮性丘疹症（皮膚症状のみの患者）、MAP：悪性萎縮性丘疹症（全身症状のある患者）、NS：非有意

\* 平均値±SD（年）



**図1** 萎縮性丘疹症のKaplan-Meier生存率。全身病変がある患者(MAP)と全身病変がない患者(BAP)。

BAP：良性萎縮性丘疹症、MAP：悪性萎縮性丘疹症

# 良性萎縮性丘疹症（Köhlmeier-Degos 病）における炎症と血栓閉塞のシグナル

Inflammation and thrombo-occlusive vessel signalling in benign atrophic papulosis (Köhlmeier-Degos disease)

C.C. Zouboulis, A. Theodoridis, E. Makrantonaki

Departments of Dermatology, Venereology, Allergology and Immunology, Dessau Medical Center, Brandenburg Medical School Theodor Fontane and Faculty of Health Sciences Brandenburg, Dessau, Germany



J Eur Acad Dermatol Venereol. 2022;36:2195–2198

## ▶ 背景

萎縮性丘疹症（Köhlmeier-Degos 病）は極めて稀な疾患である。良性型は単に皮膚症状が現れるのみであるが、時間経過とともに全身性の悪性型に移行する場合がある。しかし、悪性型で全身的な特徴を呈するかどうかは明らかではない。

## ▶ 目的

良性萎縮性丘疹症で炎症および血栓閉塞のシグナルが認められるか確認し、認められる場合は Chapel-Hill の血管炎分類に従って分類する。

## ▶ 方法

単一施設の対照試験で、サイトカイン（IL-1 $\beta$ , IL-6, IL-8, IFN $\gamma$ , MCP-1, VEGF, TNF $\alpha$ , TGF- $\beta$ 1), 抗リン脂質抗体（カルジオリピン IgG/A/M, カルジオリピン IgG, カルジオリピン IgM,  $\beta$ 2 グリコプロテイン IgG/A/M, ホスファチジルコリン, ホスファチジルセリン, ホスファチジルイノシトール, ホスファチジルエタノールアミン, スフィンゴミエリン

A), 抗プロテイナーゼ 3 IgG 抗体, 抗ミエロペルオキシダーゼ IgG 抗体, 抗核抗体および可溶性核抗原の濃度を、良性萎縮性丘疹症患者 6 例および年齢・性別をマッチさせた健常対照 6 例の血液検体で測定した。

## ▶ 結果

IL-8 は患者群の血清でのみ検出された。患者群では VEGF が減少し、抗カルジオリピン IgG/A/M 抗体と抗 $\beta$ 2 グリコプロテイン抗体が増加していた。抗核抗体は 3 例にのみ検出され、可溶性核抗原は全例陰性であった。その他に検討したマーカーに差はみられなかった。

## ▶ 結論

本研究は良性萎縮性丘疹症で全身炎症および血栓閉塞シグナルを初めて評価した研究である。Chapel-Hill 分類に基づき、抗好中球細胞質抗体に関連しない、免疫複合体性小型血管炎のエビデンスが得られた。以上の所見は、全身臓器に明らかな異常がないにもかかわらず、その全身性を裏付ける根拠となる。

**表1** BAP 患者と健常対照の臨床データおよび血清学的所見の比較

Clinical data		BAP Patients	Healthy controls	Significance
Sex (female:male)		5:1	5:1	ns
Median age (y) (interquartile range)		48 (31–56)	51 (39–53)	ns
Blood sample drawn  during time from disease onset – median age (y) (interquartile range)		active disease  10 (4–19)	no disease  -	
Comorbid disorders		none	none	
Systemic treatment		none	none	
Molecule	Median value (IQR) in pg/ml		Normal values	Significance
IL-1 $\beta$	nd		nd	
IL-6	nd		nd	
IL-8	5.50 (0.46–10.61)		nd	$P = 0.028$
IFN $\gamma$	0.14 (0.06–0.15)		0.05 (0.05–0.09)	ns
MCP-1	51.28 (30.25–54.88)		44.63 (39.25–54.31)	ns
VEGF	7.22 (1.01–17.6)		37.73 (12.41–83.55)	ns
TNF $\alpha$	0		0 (0–0.3)	ns
TGF- $\beta$ 1	5.33 (3.47–6.82) <sup>a</sup>		7.16 (3.09–10.32) <sup>a</sup>	ns
Cardiolipin IgG/ A/M Ab	13.4 (10.8–18.2)		0.55 (0.50–0.60)	$<0.9$
$\beta$ 2-Glycoprotein IgG/A/M Ab	7.3 (6.3–13.9)		0.70 (0.55–0.70)	$<0.9$
Positive titer values				
ANA	3/6 (1:160–1:320)		0/6 +	$<1:80$
ENA	0/6 +		0/6 +	negative
Antiphospholipid Ab/ANCA		BAP patient median value (IQR) in U/mL		
Cardiolipin IgG Ab	0.9 (0.6–1.2)		$<10$	
Cardiolipin IgM Ab	0.5 (0.5–0.7)		$<10$	
Phosphatidyl choline Ab	2.7 (1.7–3.2)		$<10$	
Phosphatidyl serine Ab	5.1 (3.5–5.5)		$<10$	
Phosphatidyl inositol Ab	4.1 (3.1–5.0)		$<10$	
Phosphatidyl ethanolamine Ab	2.0 (1.8–2.6)		$<10$	
Sphingomyelin Ab	3.1 (2.9–5.8)		$<10$	
Proteinase-3 IgG Ab	0.65 (0.50–0.75)		$<7$	
Myeloperoxidase IgG Ab	0.90 (0.56–1.35)		$<7$	

<sup>a</sup> : ng/mL

Ab : 抗体, IQR : 四分位範囲, nd : 検出不能, ns : 非有意, y : 歳, ANA : 抗核抗体, ANCA : 抗好中球細胞質抗体, BAP : 良性萎縮性丘疹症, ENA : 可溶性核抗原

# Onychopapilloma の臨床的特徴およびダーモスコピー検査、病理検査所見の特徴

## Onychopapilloma: its clinical, dermoscopic and pathologic features

T.-R. Kim,<sup>1,2</sup> K.-N. Bae,<sup>1</sup> J.-H. Son,<sup>1</sup> K. Shin,<sup>1</sup> H.-S. Kim,<sup>1</sup> H.-C. Ko,<sup>1</sup> B.-S. Kim,<sup>1</sup> M.-B. Kim<sup>1,2</sup>

<sup>1</sup>Department of Dermatology, School of Medicine, Pusan National University, Busan, South Korea

<sup>2</sup>Biomedical Research Institute, Pusan National University Hospital, Busan, South Korea



*J Eur Acad Dermatol Venereol.* 2022;36:2235–2240

### ▶ 背景

Onychopapilloma は爪床および爪母遠位部の良性腫瘍で、一般に縦方向の赤色線条 (erythronychia), 白色線条 (leukonychia) または黒色線条 (melanonychia) として認められる。Onychopapilloma は稀な疾患のため、アジアにおいてその臨床的特徴やダーモスコピーや所見はあまり検討されていない。

### ▶ 目的

韓国における onychopapilloma の臨床的特徴、ダーモスコピーや病理検査所見について調査した。

### ▶ 方法

釜山大学校病院（釜山および梁山）で 11 年間（2010 ~ 2021 年）に onychopapilloma と診断された患者 39 例の医療記録および臨床／ダーモスコピーや病理検査写真を後ろ向きに検討した。

### ▶ 結果

39 例中 23 例 (59.0%) が男性、16 例 (41.0%) が

女性であった。平均年齢は 46.1 歳 (16 ~ 77 歳) であった。いずれも単発病変で、発症部位は手指 (92.3%)、特に母指 (66.7%) が中心であった。最も多かった臨床的特徴は縦方向の赤色線条 (56.4%) であり、ダーモスコピーや病理検査で最も多い所見は爪下遠位部の角質増殖 (100%) であった。また、ダーモスコピーや病理検査では、巨大爪半月 (macrolunula) および長軸に伸びる trailing lunula という 2 つの新しい特徴が認められた。外科的切除を受けた 18 例のうち、爪床に典型的な表皮肥厚と乳頭腫症を認めたのは 6 例 (33.3%) のみであった。

### ▶ 結論

アジア人の onychopapilloma の臨床所見およびダーモスコピーや病理検査所見は、白人と同様であった。すなわち、縦方向の赤色線条と爪下遠位部の角質増殖が高頻度にみられる爪甲変化およびダーモスコピーや病理検査所見であった。我々は onychopapilloma の新しいダーモスコピーや病理検査所見の特徴として、macrolunula および長軸に伸びる trailing lunula の 2 つを提案したい。

**表2** Onychopapilloma 患者の臨床的特徴 ( $N = 39$ )

Clinical characteristics	N (%)
Nail changes	
Longitudinal erythronychia	22 (56.4)
Longitudinal leukonychia	8 (20.5)
Longitudinal melanonychia	5 (12.8)
Splinter haemorrhage without any longitudinal band	4 (10.3)
Subjective symptoms	
Tenderness	9 (23.1)
Functional discomfort without tenderness	15 (38.5)
No symptom	23 (59.0)



**図1** Onychopapillomaにおける爪甲変化。(a) 赤色線条, (b) 白色線条（黄色矢印）と線状出血, (c) 黒色線条。

# 高リスク成人における色素細胞母斑の長期的変化

## The long-term evolution of melanocytic nevi among high-risk adults

O. Reiter,<sup>1,2</sup> N.R. Kurtansky,<sup>1</sup> S.T. Musthaq,<sup>1</sup> S. Dusza,<sup>1</sup> A.C. Halpern,<sup>1</sup> M.A. Marchetti,<sup>1</sup> A.A. Marghoob,<sup>1</sup> A. Scope,<sup>1,2,3</sup> V. Rotemberg<sup>1</sup>

<sup>1</sup>Dermatology Service, Memorial Sloan Kettering Cancer Center, New York, NY, USA

<sup>2</sup>Sackler Faculty of Medicine, Tel Aviv University, Tel Aviv, Israel

<sup>3</sup>The Kittner Skin Cancer Screening and Research Institute, Sheba Medical Center, Ramat Gan, Israel



J Eur Acad Dermatol Venereol. 2022;36:2379–2387

### ▶ 背景

成人の色素細胞母斑の長期にわたる自然経過に関してはほとんどわかっていない。

### ▶ 目的

高リスク患者の軀幹にある各母斑の長期にわたる自然経過を詳述した。

### ▶ 方法

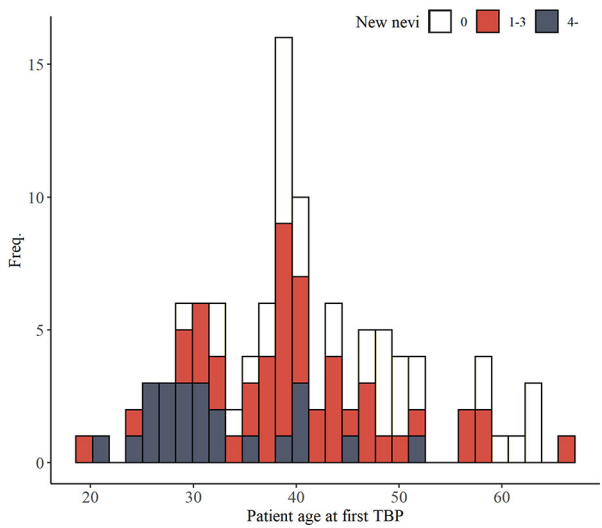
15年以上の間隔を空けて2回の全身写真撮影(TBP)を行ったメモリアル・スローンケタリングがんセンターの通院患者をすべて対象とした(「後ろ向き」群)。選択バイアスの可能性を考慮し、15年以上前にTBPを行い、さらにフォローアップTBPを受けることに同意した連続する患者(「前向き」群)も対象とした。ベースライン時とフォローアップ時のTBP画像で軀幹を比較し、母斑の総数、新規母斑および消失母斑の数、脂漏性角化症および日光角化症の病変数、両時点での各母斑の径、色の変化、臨床的異型性の有無、さらにダーモスコピーが使用可能な場合には各時点におけるダーモスコピー所見の特徴を評価した。

### ▶ 結果

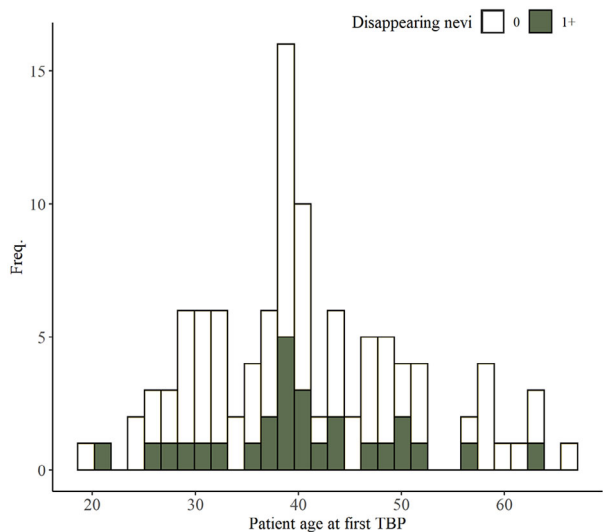
患者106例を本研究の対象とした。ベースラインTBP時の平均年齢は40歳であった。次の撮影までの間(中央値16.4年)に、新しい母斑が大多数の患者に出現し、その数は1人当たり平均2.6[標準偏差(SD):4.8]個であった。消失した母斑の数は平均0.3(SD:0.6)個であった。さらに、106例中62例(58%)では母斑の絶対数が増加し、106例中9例(8%)では減少した。直径に関しては、両時点で評価できた母斑の約半数(49%:1,416/2,890個)で拡大(少なくとも25%以上)が示された。直径が縮小(少なくとも25%以上)した母斑は、わずか6%(159/2,890個)であった。悪性黒色腫の既往がある患者は母斑の消失率は高く、しかし各母斑の直径が拡大する傾向を認めた。ダーモスコピー所見上、大半の母斑に有意な変化は認められなかった。

### ▶ 結論

高リスク患者では生涯を通じて新しい母斑が形成され、経年消失する母斑はごくわずかである。先行報告とは異なり、成人の母斑の多くは径が拡大し、縮小する母斑はほとんどない。



**図 1** 躯幹に出現した新規母斑数と初回TBP時の年齢との比較。  
TBP：全身写真撮影



**図 2** 躯幹から消失した母斑数と初回TBP時の年齢との比較。  
TBP：全身写真撮影

# 1年間に皮膚科を紹介受診した原発性皮膚リンパ腫患者における診断、病期、併存疾患、関連症状、実施治療ならびに臨床経過に関する単一施設、後ろ向きコホート研究

**Primary cutaneous lymphoma patients seen at a referral dermatological centre in 1 year: A single-centre observational retrospective cohort study of the diagnoses and staging, comorbidities and associated symptoms, treatment performed and clinical course**

N. Macagno, L. Mastorino, M. Rubatto, G. Avallone, M. Merli, A. Agostini, P. Fava, S. Riberio, P. Quaglino

Department of Medical Sciences, Dermatologic Clinic, University of Turin, Turin, Italy



*J Eur Acad Dermatol Venereol.* 2022;36:2388–2392

## ▶ 重要性

原発性皮膚リンパ腫（PCL）は稀な疾患であるが、その予後良好な臨床経過が有病率を押し上げているともいえる。治療の選択肢は多いものの、推奨されている治療ヒエラルキーは存在しない。

高悪性度転化（大細胞転化）、末梢血への浸潤の有無、病期の進行、実施された治療とその反応を評価した。

## ▶ 目的

本研究は、PCL 患者の医学的負荷を明らかにし、その臨床病理的特徴および関連する併存疾患について述べ、さらに実臨床における治療法および完全奏効（CR）の達成に影響を与える要因を解析することを目的とする。

## ▶ 結果

皮膚 T 細胞リンパ腫（CTCL）は 247 例（64.3%）、皮膚 B 細胞リンパ腫（CBCL）は 137 例（35.7%）であり、最も高頻度の病型は菌状息肉症（48.4%）であった。CTCL 患者の 62.3%において少なくとも 1 つ以上の併存疾患有しており、その多くが心血管疾患（28.7%）で、皮膚外新生物も 20.2%に認められた。主な治療法は skin-directed therapy（局所ステロイド外用 65.6%、光線療法 50.2%）であった。39.3% の患者が経過中に CR を達成した。そう痒、併存疾患の存在、大細胞転化はそれぞれ CR 未達成に関連する因子であった。一方、ステージ IA の菌状息肉症で高い CR 達成率が認められた。

## ▶ デザイン、実施施設および対象

本研究は 2019 年 1 月 1 日から 2019 年 12 月 31 日までの期間にトリノ大学病院皮膚科を受診し、2020 年 12 月まで継続して追跡できた PCL 患者（384 例）全例を対象とした。

## ▶ 結論および関連性

Th2 サイトカイン関連のそう痒の発症は治療抵抗性を増大させる一因であり、付随する併存疾患の存在は治療コンプライアンスを低下させるだけでなく、治療選択肢をも狭めると考えられる。

## ▶ 主要評価項目および評価指標

PCL の病型、人口統計学的データ、発症から診断までに要した期間、関連症状、併存疾患、診断時の病期、

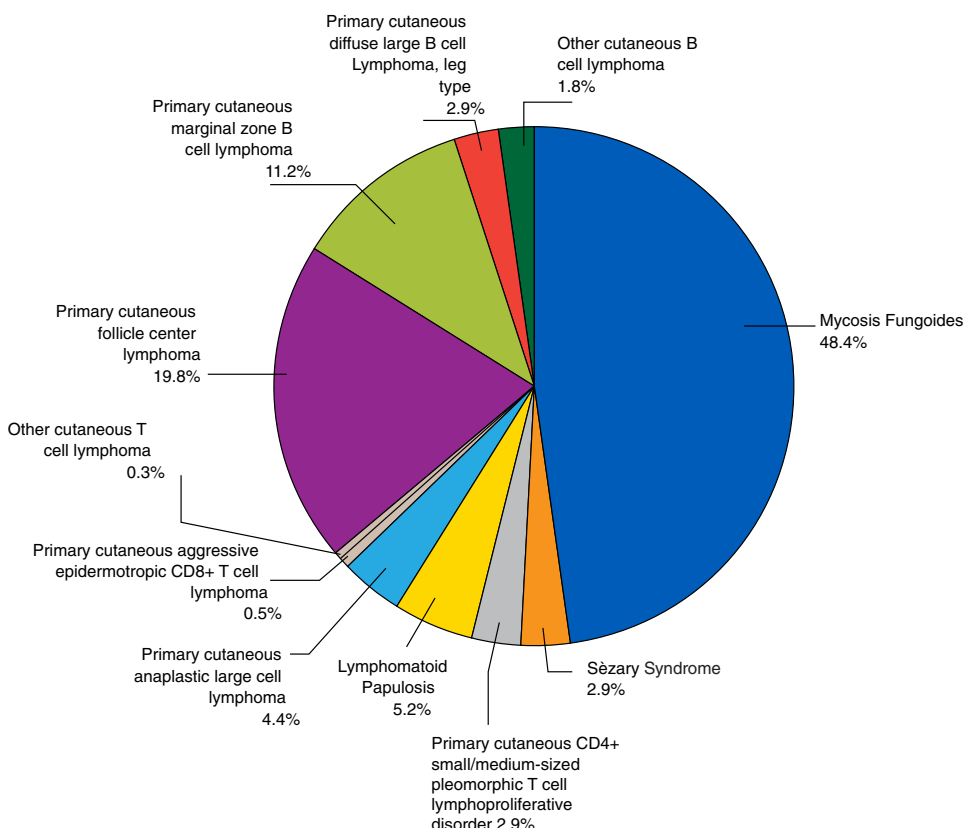


図 1 CTCL および CBCL の診断分布。CTCL：皮膚 T 細胞リンパ腫, CBCL：皮膚 B 細胞リンパ腫

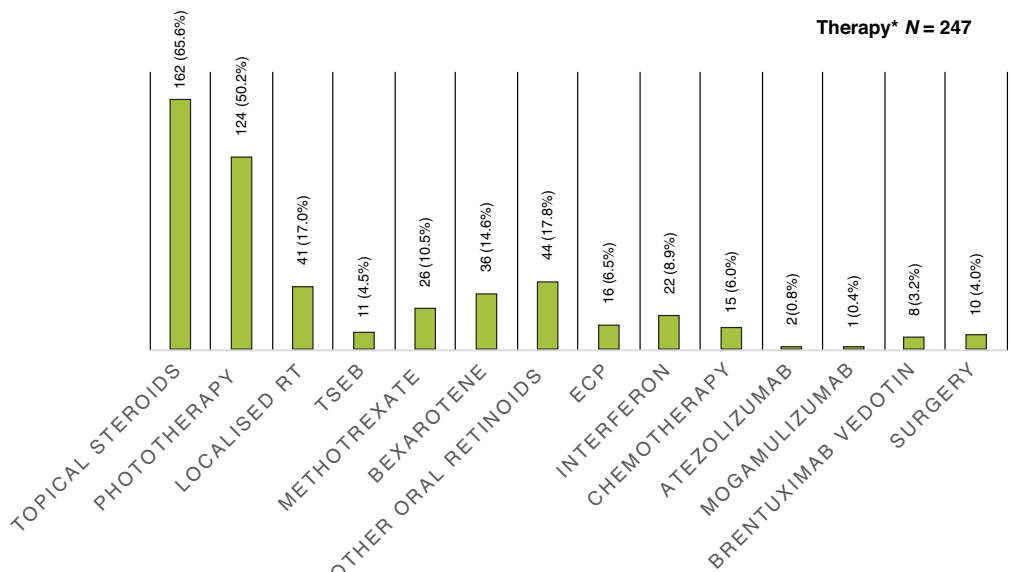


図 2 実施された治療の解析。<sup>\*</sup>データは実施されたすべての治療内容を指す。ECP：体外光化学療法, RT：放射線療法, TSEB：全身皮膚電子線照射

# 初のヒトニキビダニ *ex vivo* 培養およびダニ増殖に対する各種薬剤の評価

First *ex vivo* cultivation of human Demodex mites and evaluation of different drugs on mite proliferation

B.M. Clanner-Engelshofen, L.M. Ständer, T. Steegmüller, T. Kämmerer, L.H. Frommherz, P.-C. Stadler, A. Gürtler, M. Reinholz  
Department of Dermatology and Allergy, University Hospital, Munich, Germany



*J Eur Acad Dermatol Venereol.* 2022;36:2499–2503

## ▶ 背景

ニキビダニ属はヒトの皮膚マイクロバイオームの中でも最も複雑な常在微生物である。ニキビダニは片利共生生物と考えられているが、酒さなどの炎症性皮膚疾患の病態生理に関連している可能性がある。これまで生きた脊椎動物を宿主とする以外に、ニキビダニの培養系は存在しなかった。

## ▶ 目的

ヒトニキビダニの *ex vivo* 培養系を確立し、皮脂分泌依存性のダニ密度を明らかにする。

## ▶ 方法

ヒト器官型皮膚組織片培養 (human organotypic skin explant culture : hOSEC) と呼ばれる手法を用いて、ヒト皮膚組織片の毛包脂腺単位でニキビダニを培養した。皮脂分泌を調節する様々な添加薬剤についても評価した。ダニおよびダニ生存率は光学顕微鏡および蛍

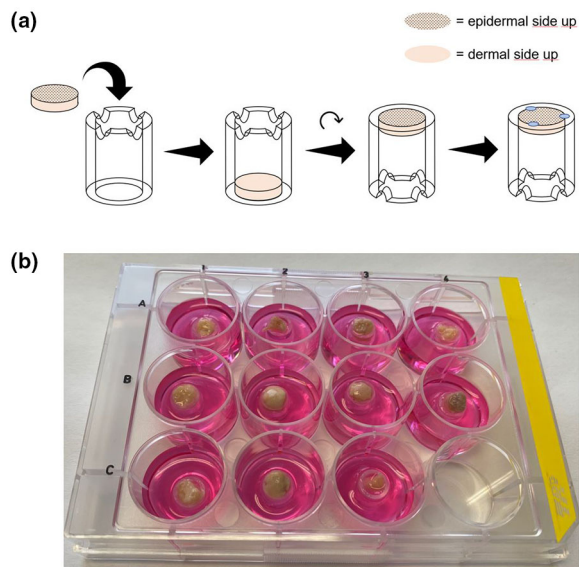
光顕微鏡で評価した。

## ▶ 結果

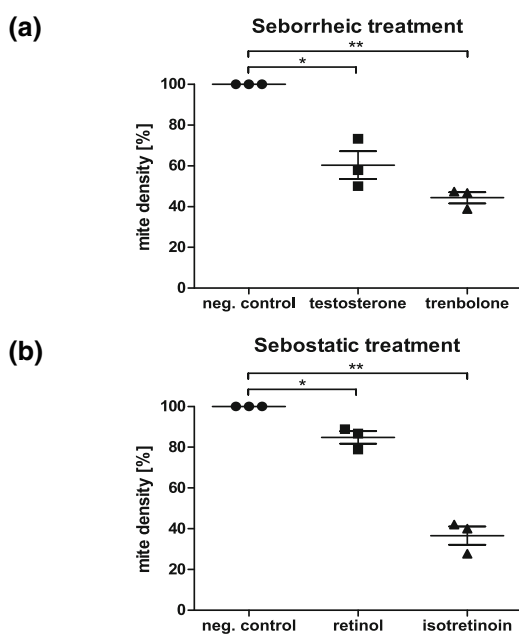
90日間の培養後、分離した皮膚試料から卵、幼虫、若虫を含むニキビダニ生体を検出した。アナボリックステロイド（テストステロンおよび trenbolone）のほか、レチノール、レチノイン酸（イソトレチノイン）と30日間培養したところ、ダニ密度が減少した。

## ▶ 結論

本手法によりニキビダニの *ex vivo* 培養に初めて成功したことから、ニキビダニ属の新しい研究方法が確立されたといえる。イソトレチノインの皮脂抑制作用は、適応外使用による酒さ治療の作用機序に関与するものと考えられる。本研究成果がこの最も複雑な片利共生生物であるニキビダニ研究の礎となり、その一生、生態、生理に関する研究がさらに加速していくことを期待する。



**図 1** (a) ガラス製シリンダーに皮膚試料（口ゼ色のディスク）を装着する工程の図解。反転した皮膚試料（表皮を下向きにする）を上下逆転させたシリンダー内に挿入したら、シリンダーをひっくり返し、皮膚試料を瞬間接着剤で丁寧にシリンダーに接着する（水色の楕円部分）。(b) 12 個の蓋なしウェルプレート、うち 11 個は薬剤を加えた DMEM 培地（ピンク色の溶液。添加後間もないため  $\text{CO}_2$  濃度 5% の大気下で pH バランス未調整）に皮膚試料をマウントしてある。交差汚染を防ぐため 1 ウェル 1 試料の方法で行った。  
DMEM : Dulbecco's Modified Eagle Medium



**図 2** ダニ密度（直径 6 mm の円面積に等しい表皮  $0.283 \text{ cm}^2$  あたりのダニ数）の差を無処置（陰性）対照群と比較してパーセントで表したグラフ。(a) 皮脂分泌促進薬テストステロンおよび trenbolone の投与により、ダニ密度が有意に低下した（それぞれ  $p = 0.0286$  および  $p = 0.0024$ ）。無処置対照群との差の平均値は、テストステロン 39.6%， trenbolone 55.7% であった。(b) 皮脂分泌抑制薬レチノールおよびイソトレチノインの投与により、ダニ密度が有意に低下した（それぞれ  $p = 0.0378$  および  $p = 0.0049$ ）。無処置対照群との差の平均値は、レチノール 15.2%， イソトレチノイン 63.4% であった。イソトレチノインはすべての皮脂分泌調節薬の中で最もダニ減少効果が強かった。

# 乾癬患者における自殺傾向のリスク増加： 韓国の全国コホート研究

**Increased risk of suicidality in patients with psoriasis: A Nationwide cohort study in Korea**

Sung Min Kim<sup>1</sup>, Juhee Ahn<sup>2</sup>, Young Ah Cho<sup>1</sup>, Jae Young Sung<sup>1</sup>, Chang Yong Kim<sup>1</sup>, Da-Ae Yu<sup>1,3</sup>, Yang Won Lee<sup>1,3</sup>, Sungho Won<sup>2,4,5</sup>,  
Yong Beom Choe<sup>1,3</sup>

<sup>1</sup> Department of Dermatology, Konkuk University School of Medicine, Seoul, Republic of Korea

<sup>2</sup> Department of Public Health Sciences, Seoul National University, Seoul, Republic of Korea

<sup>3</sup> Research Institute of Medical Science, Konkuk University School of Medicine, Seoul, Republic of Korea

<sup>4</sup> Interdisciplinary Program of Bioinformatics, Seoul National University, Seoul, Republic of Korea

<sup>5</sup> RexSoft Inc, Seoul, Republic of Korea



*J Eur Acad Dermatol Venereol.* 2023;37:75–84

## ▶ 背景

乾癬が患者のQOLに及ぼす精神的影響は深刻である。しかし自殺傾向と乾癬の関連性は未だ明確にされていない。

## ▶ 目的

乾癬患者と一般集団における自殺傾向（自殺念慮、自殺企図および自殺既遂）のリスクを解析・比較した。

## ▶ 方法

全国規模の住民対象後ろ向きコホート研究において、2005年から2018年までの韓国国民健康保険請求データを解析した。

## ▶ 結果

18歳以上の乾癬患者 348,439例および年齢・性別を

マッチさせた対照を本研究に含めた。対照群よりも、乾癬患者群において自殺傾向のリスクが高かった [調整ハザード比 (aHR) : 1.21, 95% 信頼区間 (CI) : 1.18 ~ 1.24]。また、乾癬性関節炎群における自殺傾向のaHR (1.46, 95% CI : 1.39 ~ 1.54) は、乾癬のみの単独発症群 (1.17, 95% CI : 1.13 ~ 1.20) を上回っていた。しかし、乾癬の重症度と自殺傾向の間に相関はみられなかった（軽症群 aHR : 1.22, 95% CI : 1.18 ~ 1.25, 中等症～重症群 aHR : 1.16, 95% CI : 1.10 ~ 1.23）。

## ▶ 結論

乾癬患者では自殺傾向のリスクが増加する。特に、関節炎のある患者では自殺傾向のリスクにより優位に影響を及ぼしていた。

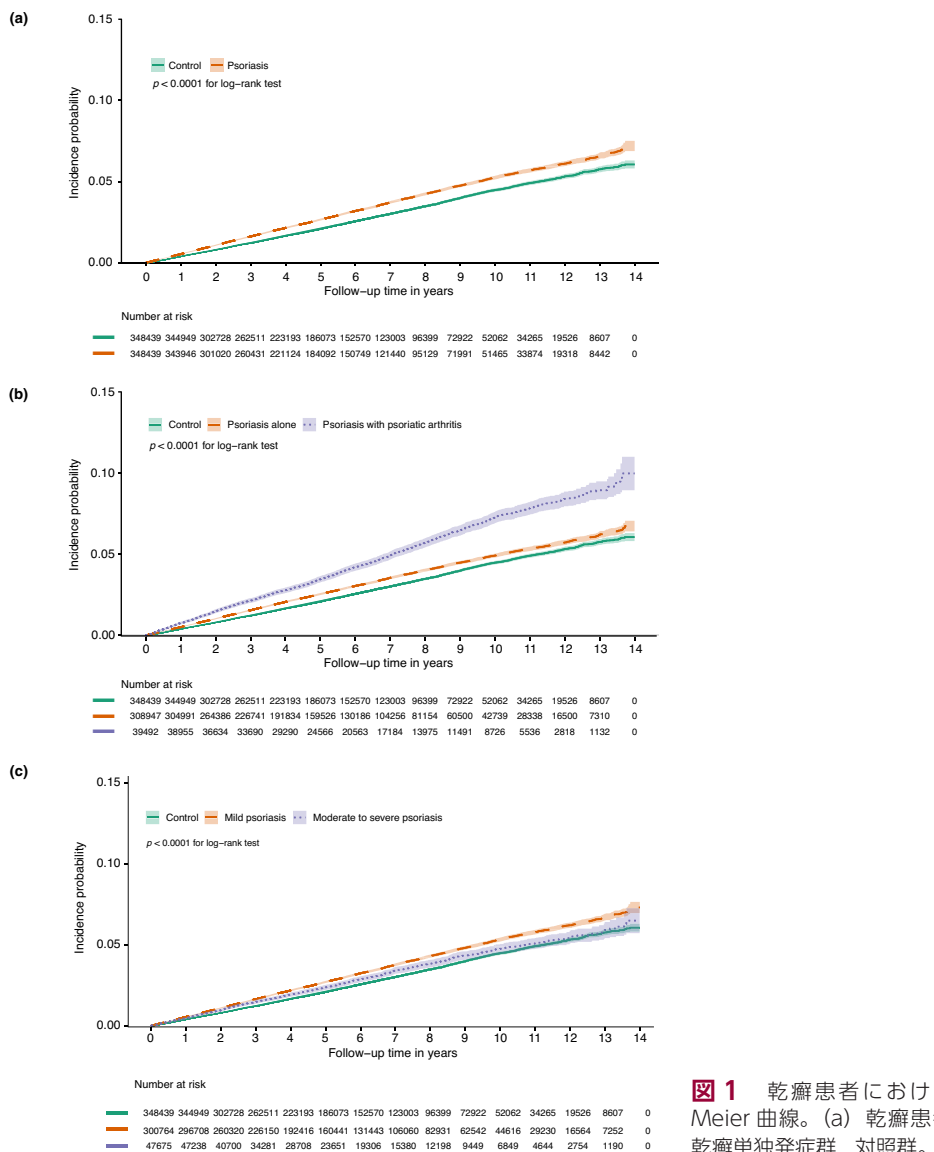


図 1 乾癬患者における自殺傾向の発生率を示すKaplan-Meier曲線。(a) 乾癬患者群と対照群。(b) 乾癬性関節炎群、乾癬単独発症群、対照群。(c) 軽症群、中等症～重症群、対照群。

表3 乾癬患者および乾癬を発症していない対照群における自殺傾向のリスク比較

	No. of events	Person-years	IR (95% CI) <sup>a</sup>	Unadjusted HR (95% CI)	Adjusted HR (95% CI) <sup>b</sup>
Suicidality					
Non-psoriasis	9032	2,051,578	440.2 (431.2–449.4)	1.00	1.00
Psoriasis	10,954	2,035,722	538.1 (528.1–548.3)	1.22 (1.19–1.26)	1.21 (1.18–1.24)
Suicidal ideation					
Non-psoriasis	3140	2,070,972	151.6 (146.4–157.0)	1.00	1.00
Psoriasis	3826	2,060,008	185.7 (179.9–191.7)	1.23 (1.17–1.28)	1.22 (1.17–1.28)
Suicidal attempt					
Non-psoriasis	5407	2,062,499	262.2 (255.2–269.2)	1.00	1.00
Psoriasis	6631	2,049,143	323.6 (315.9–331.5)	1.23 (1.19–1.28)	1.22 (1.17–1.26)
Complete suicide					
Non-psoriasis	696	2,082,171	33.4 (31.0–36.0)	1.00	1.00
Psoriasis	765	2,073,803	36.9 (34.3–39.6)	1.10 (0.996–1.22)	1.09 (0.99–1.21)

CI : 信頼区間, HR : ハザード比, IR :  $10^5$ 人・年当たりの発生率

<sup>a</sup> 発生率はイベント件数を人・年で割ることにより算出した。

<sup>b</sup> 年齢、性別、所得水準、雇用形態、居住地域および障害について調整した。

# 腫瘍随伴性天疱瘡：非定型症例の存在を顕在化したオランダの詳細な症例シリーズ

## Paraneoplastic pemphigus: A detailed case series from the Netherlands revealing atypical cases

Farhat Zaheri<sup>1</sup>, Hendri H. Pas<sup>1</sup>, Jeroen Bremer<sup>1,2</sup>, Joost M. Meijer<sup>1,2</sup>, Marieke C. Bolling<sup>1,2</sup>, Barbara Horvath<sup>1,2</sup>, Gilles F. H. Diercks<sup>1,2,3</sup>

<sup>1</sup> Department of Dermatology, Expertise Center for Blistering Diseases, University of Groningen, University Medical Center Groningen, Groningen, the Netherlands

<sup>2</sup> ERN-SKIN Expertise Center, Groningen, the Netherlands

<sup>3</sup> Department of Pathology and Medical Biology, Division of Pathology, University of Groningen, University Medical Center Groningen, Groningen, the Netherlands



J Eur Acad Dermatol Venereol. 2023;37:147–153

### ▶ 背景

腫瘍隨伴性天疱瘡 (PNP) は、基礎疾患として新生物を有する患者に発症する、極めて珍しい致死的な水疱性自己免疫疾患である。規定の PNP 診断基準は、主に重度の口内炎およびエンボプラキン、ペリプラキン、 $\alpha 2$  マクログロブリン様タンパク質 1 (alpha-2-macroglobulin-like protein 1) に対する特異的抗体の検出に基づいている。しかし、診断基準のすべてを満たしていない PNP 患者の存在が確認されつつある。

### ▶ 目的

オランダ人患者コホートの解析により、診断基準に合致しない非定型症例を定義する。

### ▶ 方法

過去 25 年間のオランダ人 PNP 患者を対象とする後ろ向き症例研究。患者の臨床的および免疫学的変数を徹底的に解析し、要約した。

### ▶ 結果

24 例の患者を本研究の対象とした。規定の診断基準を完全には満たしていない非定型症例は数例であった。24 例中、口内炎症状がなかった症例は 2 例、基礎疾患に腫瘍がなかった症例は 3 例、特異的自己抗体が確認できなかった症例は 2 例であったが、その他の PNP 診断基準はすべて合致していた。最終的に生存患者は 24 例中 3 例であった。

### ▶ 結論

先行研究と同様に、本研究のほとんどの患者は基準を満たしていたが、少数の非定型症例が存在した。規定の基準に厳密に従って診断すると診断の見逃しや遅延につながる恐れがあるため、基準にこだわりすぎることも重要である。したがって PNP が疑われる患者では、臨床所見と精密検査の結果を組み合わせて診断を確定することが肝要である。PNP 症例は概して予後不良であるが、基礎疾患を適切な時期に治療することにより回復する可能性がある。

**表1** 本症例シリーズの粘膜病変およびその有病率。粘膜病変は、びらんや水疱などのカテゴリーに細分類した。これら各種病変は単発または他病変に併発する形で認められたもの。

Site of mucosal lesions	Patients' n/N (%)	Lesions
Total	23/24 (96%)	
Oral	22/24 (92%)	Erosions (56%) Blisters (23%) Cheilitis (32%)
Ocular	8/24 (33%)	Erosions (13%) Conjunctivitis (50%) Blepharitis (25%) Blurred vision (13%) Painful eyes (13%)
Nasal	1/24 (4%)	Erosions (100%)
Genital/Urogenital	11/24 (46%)	Erosions (64%) Blisters (18%) Pain (9%) Skin discolouration (9%)

**表3** 患者の免疫学的検査結果

Patient no.	IP	IB	DSG 1	DSG 3	DIF	IIF Oesophagus	IIF Rat bladder
1	DSP, EP, PP, A2ML1	EP, PP	1	207	N.A.	+	+
2	EP, PP, A2ML1	DSP, EP, PP	>150	>150	N.A.	+	-
3	DSP, EP, PP, A2ML1	DSP, EP, PP	98	245	N.A.	+	-
4	DSP, EP, PP	DSP, EP, PP	2	186	ECS	+	+
5	DSP, EP	DSP, EP, PP	3	54	ECS, BMZ (linear)	+	+
6	EP, PP, A2ML1	EP, PP	2	42	N.A.	+	+
7	DSP, EP, PP, A2ML1	EP, PP	7	114	BMZ (linear)	N.A.	+
8	A2ML1	EP, PP	3	158	ECS, BMZ (granular)	+	+
9	DSP, EP, A2ML1	DSP	0	94	ECS	Inconclusive	+
10	DSP, EP, PP, A2ML1	EP, PP	164	136	ECS, BMZ (linear)	+	+
11	DSP, EP, A2ML1	-	1	50	ECS, BMZ (granular)	-	+
12	A2ML1	EP, PP	57	145	ECS	+	Inconclusive
13	EP, PP	EP, PP	3	3	BMZ (linear)	+	+
14	EP, PP, A2ML1	EP, PP	6	87	ECS, BMZ (linear/granular)	+	+
15	EP, PP	EP, PP	5	132	N.A.	-	+
16	EP, PP, A2ML1	EP, PP	5	97	N.A.	-	+
17	EP, PP, A2ML1	EP, PP	11	30	N.A.	+	+
18	EP, PP, A2ML1	EP	2	1	N.A.	+	+
19	-	-	10	142	N.A.	+	+
20	-	-	129	135	ECS, BMZ (focal)	+	+
21	EP, PP, A2ML1	EP, PP	3	8	ECS, BMZ (linear)	+	+
22	EP, PP	EP, PP	11	2	N.A.	-	+
23	EP, PP	EP, PP	6	4	N.A.	-	-
24	EP, PP	EP, PP	18	3	BMZ (granular/linear)	N.A.	Inconclusive

A2ML1:  $\alpha 2$  マクロプロブリン様タンパク質 1, DIF: 直接免疫蛍光法, DSG: デスマグレイン, DSP: デスマプロテオキン, EP: エンボプラキン, IB: イムノプロット法, IIF: 間接免疫蛍光法, IP: 免疫沈降法, N.A.: 該当なし, PP: ペリプロテオキン

**Volume 36 Issue 11  
November 2022**

**1904-1926**

European guideline (EuroGuiderm) on atopic eczema – part II: non-systemic treatments and treatment recommendations for special AE patient populations

**1927-1936**

A review of nevus-associated melanoma: What is the evidence?

**1937-1946**

The efficacy and safety of tofacitinib, peficitinib, solcitinib, baricitinib, abrocitinib and deucravacitinib in plaque psoriasis – A network meta-analysis

**1947-1968**

Global prevalence and clinical manifestations of cutaneous adverse reactions following COVID-19 vaccination: A systematic review and meta-analysis

**1969-1979**

Global prevalence of metabolic syndrome in patients with psoriasis in the past two decades: current evidence

**1980-1990**

Patient perspectives of atopic dermatitis: comparative analysis of terminology in social media and scientific literature, identified by a systematic literature review

**1991-2001**

Clinicopathological features, MCPyV status and outcomes of Merkel cell carcinoma in solid-organ transplant recipients: a retrospective, multicentre cohort study

**2002-2007**

Assessment of melanoma thickness based on dermoscopy images: an open, web-based, international, diagnostic study

**2008-2015**

Exploring the most visible websites on cutaneous T-cell lymphoma—revealing limited quality of patient health information on the internet

**2016-2024**

Dermoscopy of glomus tumour: a cross-sectional study of 86 cases

**2025-2035**

Melanoma in women of childbearing age and in pregnancy in California, 1994–2015: a population-based cohort study

**2036-2042**

Polygenic risk score as a determinant of risk of keratinocyte cancer in an Australian population-based cohort

**★ 2043-2050**

Features and clinical significance of tertiary lymphoid structure in cutaneous squamous cell carcinoma

**2051-2054**

Non-invasive, *in vivo*, characterization of cutaneous metastases using a novel multimodal RCM-OCT imaging device: a case-series

**2055-2063**

A real-world, non-interventional, prospective study of the effectiveness and safety of apremilast in bio-naïve adults with moderate plaque psoriasis treated in the routine care in Greece – the 'APRAISAL' study

**★ 2064-2075**

A comprehensive, tri-national, cross-sectional analysis of characteristics and impact of pruritus in psoriasis

**2076-2086**

Children with psoriasis and COVID-19: factors associated with an unfavourable COVID-19 course, and the impact of infection on disease progression (Chi-PsoCov registry)

**2087-2100**

Comparative effectiveness of biologics in clinical practice: week 12 primary outcomes from an international observational *psoriasis study of health outcomes* (PSOHO)

**2101-2112**

Switches between biologics in patients with moderate-to-severe psoriasis: results from the French cohort PSOBIOTEQ

**2113-2119**

Psoriasis may increase the risk of lung cancer: a two-sample Mendelian randomization study

**2120-2129**

The effect of risankizumab on achieving minimal clinically important differences in patient-reported outcomes in patients with psoriatic arthritis: results from KEEPsAKE 1 and 2

**2130-2139**

Factors associated with severity of atopic dermatitis – a Finnish cross-sectional study

**2140-2152**

Facial erythema in patients with atopic dermatitis treated with Dupilumab – a descriptive study of morphology and Aetiology

**2153-2165**

Systemic treatment of children and adolescents with atopic dermatitis aged ≥2 years: a Delphi consensus project mapping expert opinion in Northern Europe

**2166-2171**

Impact on quality of life of an intervention providing additional information to patients with allergic contact dermatitis; a randomized clinical trial

**2172-2180**

Association of polymorphous light eruption with NOD-2 and TLR-5 gene polymorphisms

**2181-2189**

Serum autoantibody reactivity in bullous pemphigoid is associated with neuropsychiatric disorders and the use of antidiabetics and antipsychotics: a large, prospective cohort study

**★ 2190-2194**

Atrophic papulosis (Köhlmeier–Degos disease) revisited: a cross-sectional study on 105 patients

**★ 2195-2198**

Inflammation and thrombo-occlusive vessel signalling in benign atrophic papulosis (Köhlmeier–Degos disease)

**2199-2213**

Methylated miRNAs may serve as potential biomarkers and therapeutic targets for hidradenitis suppurativa

**2214-2223**

Altered resting-state functional connectivity of default mode network in brachioradial pruritus

**2224-2234**

Tp47 promoted the phagocytosis of HMC3 cells through autophagy induced by endoplasmic reticulum stress

**★ 2235-2240**

Onychopapilloma: its clinical, dermoscopic and pathologic features

**2241-2249**

Impact of off-label use regulations on patient care in dermatology – a prospective study of cost-coverage applications filed by tertiary dermatology clinics throughout Germany

**Volume 36 Issue 12**

**December 2022**

**2267-2278**

The global prevalence of primary psychodermatologic disorders: a systematic review

**2279-2290**

Tropical parasitic itch in returned travellers and immigrants from endemic areas

**2291-2300**

Definitions of remission in psoriasis: a systematic literature review from the National Psoriasis Foundation

**2301-2315**

Infection risk in psoriatic patients receiving tumour necrosis factor inhibitors: a 20-year systematic review and meta-analysis of randomized controlled trials

**2316-2324**

Systematic literature review assessing the overall costs and societal impacts of moderate-to-severe atopic dermatitis in Europe

**2325-2330**

Clinical findings are not helpful in detecting lentigo maligna melanoma in patients with biopsy-proven lentigo maligna

**2331-2342**

Novel MSH6 mutation predicted metastasis in eyelid and periocular squamous cell carcinoma

**2343-2351**

Genetic landscape of indolent and aggressive Kaposi sarcomas

**2352-2363**

Health-related quality of life trajectories in melanoma patients after electrochemotherapy: real-world insights from the InspECT register

**2364-2372**

Synchronous primary cutaneous melanomas: a descriptive study of their clinical features, histology, genetic background of the patients and clinical outcomes

**2373-2378**

Dermoscopy as response evaluation tool for cutaneous malignant melanoma metastases treated with Talmogene Laherparepvec: a prospective feasibility study

**★2379-2387**

The long-term evolution of melanocytic nevi among high-risk adults

**★2388-2392**

Primary cutaneous lymphoma patients seen at a referral dermatological centre in 1 year: A single-centre observational retrospective cohort study of the diagnoses and staging, comorbidities and associated symptoms, treatment performed and clinical course

**2393-2400**

Super-response to guselkumab treatment in patients with moderate-to-severe psoriasis: age, body weight, baseline Psoriasis Area and Severity Index, and baseline Investigator's Global Assessment scores predict complete skin clearance

**2401-2405**

Psoriasis and progression of Parkinson's disease: a Mendelian randomization study

**2406-2413**

Adults with concomitant atopic dermatitis and asthma have more frequent urgent healthcare utilization and less frequent scheduled follow-up visits than adults with atopic dermatitis or asthma only: a nationwide cohort study

**2414-2422**

Prenatal exposure to nickel and atopic dermatitis at age 3 years: a birth cohort study with cytokine profiles

**2423-2429**

Effectiveness and safety of dupilumab in the treatment of atopic dermatitis in children (6–11 years): data from a French multicentre retrospective cohort in daily practice

**2430-2437**

Childhood maltreatment is not associated with atopic dermatitis in adults: results from a cross-sectional population-based cohort study

**2438-2442**

Erythema multiforme associated with anti-plakin antibodies: a multicentric retrospective case series

**2443-2450**

Reactive granulomatous dermatitis as a clinically relevant and unifying term: a retrospective review of clinical features, associated systemic diseases, histopathology and treatment for a series of 65 patients at Mayo Clinic

**2451-2458**

Narrow-band reflectance spectrophotometry and infrared thermography for assessment of skin lesions in localized scleroderma

**2459-2465**

Outcome and long-term treatment protocol for topical tacrolimus in oral lichen planus

**2466-2472**

Lymphocyte subsets and Langerhans cells in the skin of kidney transplant recipients under three different immunosuppressive regimens

**2473-2481**

Mortality and prognostic factors in patients with bullous pemphigoid: a retrospective multicenter Italian study

**2482-2487**

Genome-wide association study of dermatophytosis in the UK Biobank cohort

**2488-2498**

Stress signalling and STAT1 activation characterize the keratinocytic gene expression pattern in Hidradenitis suppurativa

**★2499-2503**

First *ex vivo* cultivation of human Demodex mites and evaluation of different drugs on mite proliferation

**2504-2511**

The temporal association of hyperhidrosis and its comorbidities – a nationwide hospital-based cohort study

**2512-2515**

Artificial intelligence for the automated single-shot assessment of psoriasis severity

**2516-2524**

Deep learning-based classification of dermatological lesions given a limited amount of labelled data

**2525-2532**

Improved diagnosis by automated macro- and micro-anatomical region mapping of skin photographs

**Volume 37 Issue 1  
January 2023**

**21-31**

Quality of life measurement in vitiligo. Position statement of the European Academy of Dermatology and Venereology Task Force on Quality of Life and Patient Oriented Outcomes with external experts

**32-39**

Risk of melanoma in congenital melanocytic nevi of all sizes: A systematic review

**40-46**

The role of HPV in keratinocyte skin cancer development: A systematic review

**47-56**

Acquired ichthyosis, asteatotic dermatitis or xerosis? An update on pathoetiology and drug-induced associations

**57-64**

Brentuximab vedotin in the treatment of cutaneous T-cell lymphomas: Data from the Spanish Primary Cutaneous Lymphoma Registry

**65-74**

Risk analysis of systemic side effects of tumescent local anaesthesia in the surgical treatment of geriatric and multimorbid patients with skin cancer

**★75-84**

Increased risk of suicidality in patients with psoriasis: A Nationwide cohort study in Korea

**85-92**

Real-world effectiveness and safety of tildrakizumab in long-term treatment of plaque psoriasis: Results from the non-interventional, prospective, multicentre study TILOT

- 93-103**  
Real-life effectiveness of tildrakizumab in chronic plaque psoriasis: A 52-week multicentre retrospective study—IL PSO (Italian landscape psoriasis)
- 104-113**  
Increased rates of fragrance allergy in fibromyalgia individuals tested with the Swedish baseline patch test series
- 114-122**  
Atopic dermatitis and risk of major neuropsychiatric disorders in children: A population-based cohort study
- 123-136**  
Mapping exercise and status update of eight established registries within the TREATment of ATopic eczema Registry Taskforce
- 137-146**  
Rapid pruritus reduction with ruxolitinib cream treatment in patients with atopic dermatitis
- ★147-153**  
Paraneoplastic pemphigus: A detailed case series from the Netherlands revealing atypical cases
- 154-159**  
Chronic pruritus in multiple sclerosis and clinical correlates
- 160-165**  
Comparison of topical benzyl benzoate vs. oral ivermectin in treating scabies: A randomized study
- 166-175**  
Evolution of the facial skin microbiome during puberty in normal and acne skin
- 176-183**  
Accuracy and clinical relevance of an automated, algorithm-based analysis of facial signs from selfie images of women in the United States of various ages, ancestries and phenotypes: A cross-sectional observational study
- 184-193**  
Changing spectrum of hair and scalp disorders over the last decade in a tertiary medical centre
- 194-203**  
Burden of caregivers and out-of-pocket expenditures related to epidermolysis bullosa in France
- 303-310**  
Amelanotic/hypomelanotic lentigo maligna: Dermoscopic and confocal features predicting diagnosis
- 311-316**  
Impact of blood involvement on efficacy and time to response with mogamulizumab in mycosis fungoides and Sézary syndrome
- 317-327**  
Dermoscopy of haemosiderotic/aneurysmal dermatofibroma: A morphological study of 110 cases
- 328-339**  
Zinc deficiency associated with cutaneous toxicities induced by epidermal growth factor receptor tyrosine kinase inhibitor therapy in patients with lung adenocarcinoma
- 340-347**  
Mitochondrial dysfunction: The pathological link between psoriasis and insulin resistance?
- 348-355**  
Efficacy and safety of apremilast in patients with limited skin involvement, plaque psoriasis in special areas and impaired quality of life: Results from the EMBRACE randomized trial
- 356-364**  
Treatment patterns and outcomes in patients with chronic urticaria during pregnancy: Results of PREG-CU, a UCARE study
- 365-381**  
The effects of systemic immunomodulatory treatments on COVID-19 outcomes in patients with atopic dermatitis: Results from the global SECURE-AD registry
- 382-389**  
Temporal shifts of the microbiome associated with antibiotic treatment of purpuric drug eruptions related to epidermal growth factor receptor inhibitors
- 390-394**  
Comparison of molecular and serological assays on cerebrospinal fluid for the diagnosis of neurosyphilis
- 395-401**  
Development and validation of IHS4-55, an IHS4 dichotomous outcome to assess treatment effect for hidradenitis suppurativa
- 402-410**  
Epidemiology of inherited epidermolysis bullosa in Germany
- 411-419**  
Genotype and phenotype correlations in 441 patients with epidermolysis bullosa from China
- 420-427**  
Porokeratosis is one of the most common genodermatoses and is associated with an increased risk of keratinocyte cancer and melanoma
- 428-435**  
A prospective, multicentre study to assess frailty in elderly patients with leg ulcers (GERAS study)
- 436-442**  
Superficial (nodular) thrombophlebitis as a heterogeneous entity with distinctive clinico-pathological aspects: Correlation with the underlying conditions
- 443-450**  
Patient Unique Stigmatization Holistic tool in dermatology (PUSH-D): Development and validation of a dermatology-specific stigmatization assessment tool

## Volume 37 Issue 2 February 2023

- 231-242**  
Evaluation of risk in chronic cutaneous inflammatory conditions for malignant transformation
- 243-255**  
Strategies for the enhancement of nail plate permeation of drugs to treat onychomycosis
- 256-273**  
Prevalence, comorbidities and mortality of generalized pustular psoriasis: A literature review
- 274-283**  
Skin hyperpigmentation after sclerotherapy with polidocanol: A systematic review
- 284-292**  
Melanoma-specific survival before and after inclusion in a familial melanoma dermatologic surveillance program in *CDKN2A* mutation carriers and non-carriers
- 293-302**  
Patient presentation, skin biopsy utilization and cutaneous malignant melanoma incidence and mortality in northern Italy: Trends and correlations

---

**Journal of the European Academy of Dermatology and Venereology**  
日本語版 Vol.1 No.1 2023

---

発行：2023年8月

後援：久光製薬株式会社

企画・制作：ワイリー・パブリッシング・ジャパン株式会社

〒160-0023 東京都新宿区西新宿8-4-2 野村不動産西新宿ビル8階

電話（代表）03-4520-9011 FAX 03-4520-9059

本誌の日本語訳は John Wiley & Sons Ltd. の許可を得てワイリー・パブリッシング・ジャパンが作成しています。邦訳作成には細心の注意を払い可能な限りその正確性を維持するよう努めていますが、John Wiley & Sons Ltd., 学会, ワイリー・パブリッシング・ジャパンおよび提供企業がいかなる責任を負うものではなく、その情報の完全さ正確さを保証するものではありません。

また、掲載されている記事には本邦における未承認薬および適応外、用法・用量外の情報が含まれる場合があります。薬剤の使用については製品添付文書をご参照ください。

本書の内容を無断で複写・転載・修正することを禁じます。

**disamitsu**®



AHLT0001R00  
2023年8月作成